

河すべり、火落のおよぶ崩壊型式が多い。大川流域では高地に多く面積も広い。田畑が多くその流失が多い。この田畑への引水支川も崩壊要因となっている。図-5に示す。



図-5 崩壊地分布

§ 3 要因の分類と解析

解析要因の識別規準を次の如くに行つた。△斜面勾配…ⅠⅡⅢ。Ⅱは35°以上、29°-34°、19°-28°、18°以下と分た。△植生…針葉樹林、広葉樹林、混合樹林、草本類。△リニアメント…有、無。△地表水…集水部有、無。△土地利用…森林、畑地、荒地、河川敷、農地、水田。△風化…崖、土壌、崩壊物、風化帯Ⅰ、風化帯Ⅱ(化学的風化) 林谷の風化帯区には、△岩類…石英斑岩、花崗斑岩、花崗岩、粗粒花崗岩、露岩帯崖崩壊物。以上の如くに分類したものを空中写真判読、現地調査各種資料、地形図等により、各要因の危険度評価を行つた。詳細は1-10頁の表数に示す。地形を山水系別要素分割を行い、その要素に各要因の表数をデーターとして解析を行つた。

表-1 相関係数

要因名	斜面勾配	植生	リニアメント	地表水
斜面勾配	10.000			
植生	-0.030	10.000		
リニアメント	0.147	0.042	10.000	
地表水	0.081	0.101	0.054	10.000
土地利用	-0.093	0.289	0.101	0.118
風化	0.032	0.176	0.150	0.184
岩類	-0.012	-0.036	0.047	0.122

要因名	土地利用	風化	岩類
土地利用	10.000		
風化	0.308	10.000	
岩類	0.127	-0.147	10.000

解析1. 因子分析では p 個の変数全体に共通する因子を仮定して線型結合を表す。 $X_p = \mu_p + \lambda_{p1}f_1 + \lambda_{p2}f_2 + \dots + \lambda_{pn}f_n + e_p$

$X = \mu + \Lambda f + e$, e は誤差項の確率 $\gamma \sim N(0, \sigma^2)$ とし X の分散共分散行列 Σ は $\Sigma = \Lambda E(f f^T) \Lambda^T + E(e e^T)$, $E(f f^T) = \Lambda^{-1} \Sigma \Lambda^{-T}$ より、 $\Sigma = \Lambda \Lambda^T + \Sigma_e$, Λ の成分 λ_{ij} は $\lambda_{ij} = \frac{\Lambda_{ij} \Sigma_{ij}}{\sqrt{\Lambda_{ij} \Sigma_{ij}^2}}$, $\lambda_{ij} = \frac{(\Lambda_{ij} - \lambda_{ij} \lambda_{ij})}{\sqrt{(\Lambda_{ij} - \lambda_{ij} \lambda_{ij})^2}}$ $\Lambda = (\lambda_1, \lambda_2, \dots)$ (1)

適行列 Λ による $\Lambda^T \Lambda$ が基準座標の回転による得る。標準化 Varimax 回転は $\phi = \sum_{i=1}^p \sum_{j=1}^n \left[\frac{\lambda_{ij}^2}{\sum_{k=1}^n \lambda_{ik}^2} - \left(\frac{\lambda_{ij}^2}{\sum_{k=1}^n \lambda_{kj}^2} \right)^2 \right]^2$ を最大にする回転を考慮し、収束判定は標準 ϕ の増加 ϕ が 0.01 以下に達するまで繰り返す。

角 $\phi = 0$ となる時、終了させる。このようにして得られた f の軸式を得て図-7に示す。

$$\hat{f} = \Lambda^{-1} (\text{diag } \Sigma)^{-1} (X - \mu) \dots (2)$$

解析2 判別分析では、 p 変数をもつ母集団 Π_1 (崩壊) Π_2 (非崩壊) を考え、 X の線型結合 βX の線形分散 $V(\beta X)$ は、 $V(\beta X) = \beta^T \left[\sum_{i=1}^p P_i (\Sigma_i^{-1} - \Sigma_i^{-1}) \right] \beta$, β の線形分散 $V(\beta X)$ は $\beta^T \left[\sum_{i=1}^p P_i E(\Sigma_i^{-1} (X_i - \mu_i)(X_i - \mu_i)^T) \right] \beta$ $\beta = \beta_1^{-1} \beta_2$ (β_1 は互に線形分散の比)。

$$\text{固有方程式を解き } \hat{\beta} = \Pi^{-1} \Lambda^{-1} \dots (3) \text{ を得る。}$$

§ 4 まじりの因子解析より、2個の要因抽出と崩壊地域の判別。判別分析は、4要因の重みと危険地の判定に詳細を得た。尚本研究の一部は昭和5年年度文部省科学研究費助成金による。

《参考文献》(1) Moriyasu: Statistical Analysis of Landslides and Related Phenomena, Journal of the Geographical Society of Japan, 1950. (2) 田中、小川、空中写真による崩壊地判別、地学雑誌、昭和50年、47巻、1958。

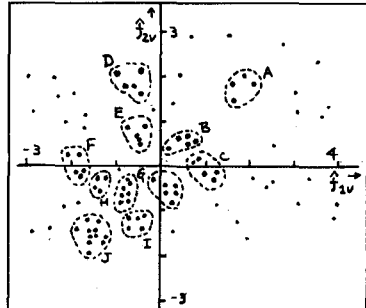


図-7 各要素の因子得点

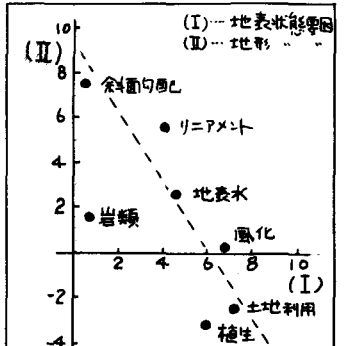


図-8 共通因子の抽出

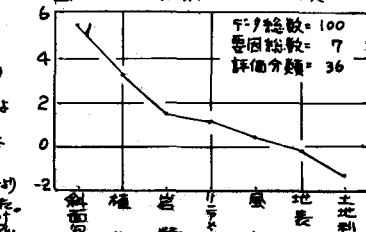


図-9 各要因の判別係数の大きさ

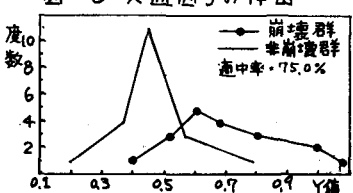


図-10 判別結果